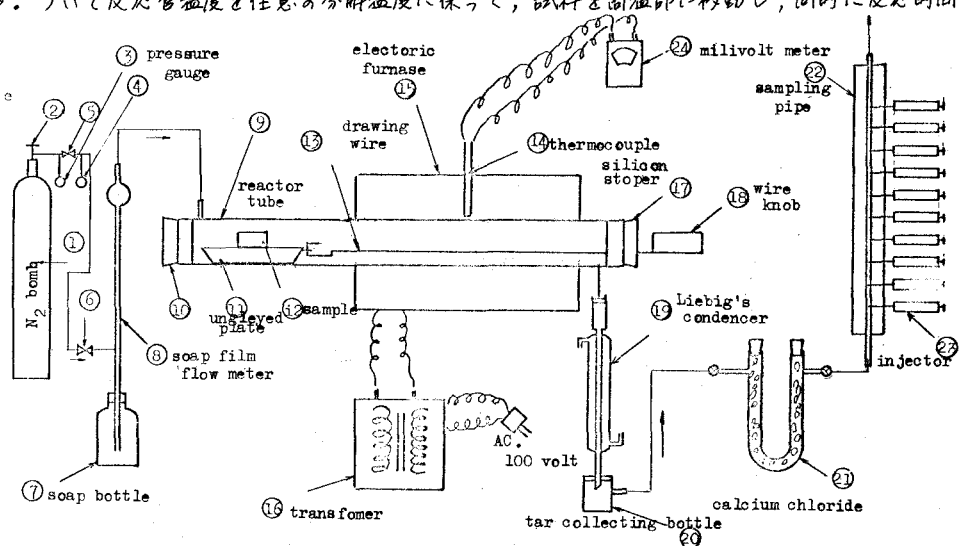


京都大学工学部 正工博 平岡正勝
 京都大学工学部 正高内政彦
 京都大学工学部 学清水治

[まえがき] 著者らが二年未行なっている噴霧燃焼法に関する基礎実験の一部分として、噴霧・蒸発・乾燥の各実験にひきつづき、下水汚泥の嫌気性熱分解実験を行なった。この場合汚泥の粒子径は数 10μ ～数 100μ のものが対象となるのであるが、本研究においては他の処理法例えは流動燃焼あるいは流動層熱分解処理法などにも適用できるよう、 $10\sim100\mu$ の成形汚泥粒子を対象としている。従来、このような汚泥の熱分解反応に対する公表された研究がなく、したがって著者らは、京都市鳥羽下水処理場における脱水ケーキを試料として、その各分解温度に対する発生ガスの組成分布および新しく定義した反応率を用いて分解反応速度式を決定し、また生活汚泥、消化汚泥、脱水ケーキについても、各含水率および発熱量の季節的変動状態を調べた。

[反応速度式について] いま、従来もういられてる熱分解反応式、 $A \rightarrow G$ (生成物)を考えた場合、その速度式はn次反応として、 $-dCA/dt = k(C_{A0} - C_A)^n$ —(1) または $-dX_A/dt = kC_{A0}^{n-1}(1-X_A)^n$ —(2) と表わすことができる、また積分形で書けば $t=0$ で $X_A=0$ であるから $n \neq 1$ の場合 $\frac{1}{n-1} \left(\frac{1}{1-X_A} - \frac{1}{1-X_{A0}} \right) = kC_{A0}^{n-1} t$ 。しかし、汚泥のような不均一物質の分解反応を考えていく場合、上式における反応物質の初期濃度 C_{A0} を正確に評価することはできない。したがってこの場合、時間 t までに発生した生成ガス量の全発生ガス量に対する割合 $(\sum_{i=1}^n S_i / \sum_{i=1}^n S_{i0})$ を反応率 X_A と定義して、上記の反応速度式に対応する速度定数および活性エネルギーを決定する。

[熱分解実験装置および操作] 実験装置はFig.1に示すようなもので、反応管は内径 24ϕ 長さ 500 mmの不透明石英製で、これを電気炉で 300 mmだけ加熱し、残りの 200 mmは試料を実験開始まで置いておくための低温部である。この部分に成形試料を乗せた素焼の試料皿⑪を置きこれに移動用ワイヤー⑬をつける。また反応管内は不活性ガスである窒素で掃気し、この流量を $6\sim8$ ml/sec(N.T.P.)に調整する。ついで反応管温度を任意の分解温度に保って、試料を高温部に移動し、同時に反応時間の測定



を開始する。ここで発生したガスはタール分を分離され、水分を CaCl_2 管にて吸収された乾燥ガスを15秒毎にサンプリングし、これをガスクロマトグラフで分析する。

[実験結果] 各反応時間におけるガス発生量をFig.2に示す。Fig.3は上に定義した反応率vs.時間のグラフである。また、 $\log(X_E/(1-X_E))$ vs. time を示したのがFig.4であり、400°Cのものを除けば直線となる；すなはち $t = \log(19.99X_E/(1-X_E))$ 。そこで活性化エネルギーを求めるため $(\log k)$ vs. $1/T$ をプロットするとFig.5となり、この勾配から $E=5.9 \text{ kcal/mole}$ を得た。 400°C の値が 500°C 以上のものからはずれてくることから $400^\circ\text{C} \sim 500^\circ\text{C}$ の間に反応機構の異なる臨界温度が存在することが考えられる。

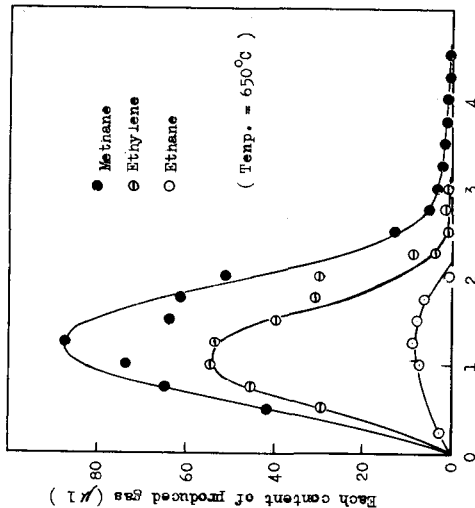


Fig. 2 Change of each content of produced gas.

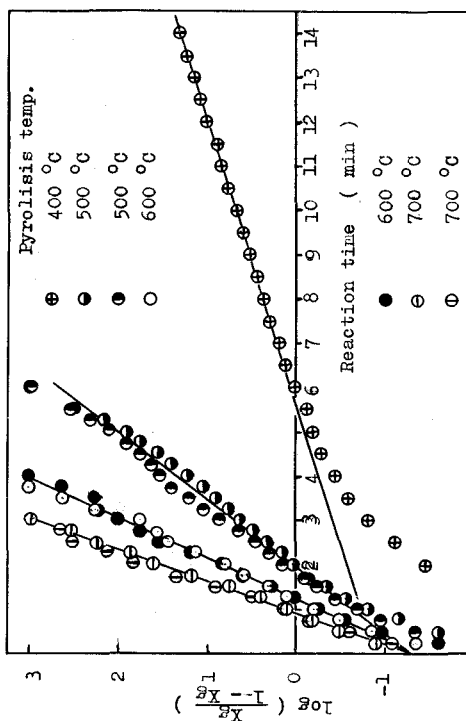
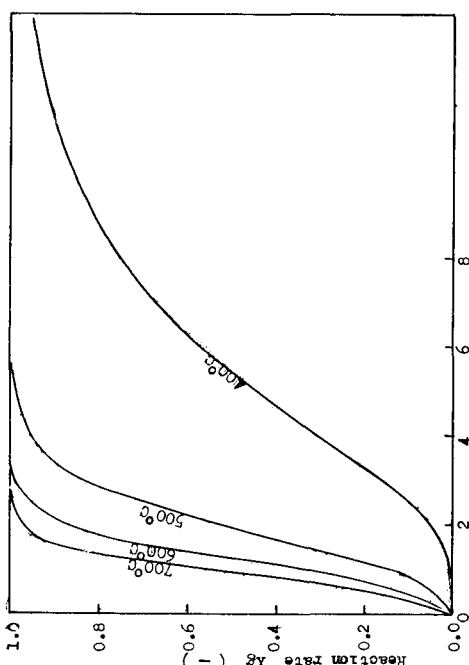


Fig. 3 Relationship of reaction rate and time



(regarded as the 1st order reaction)

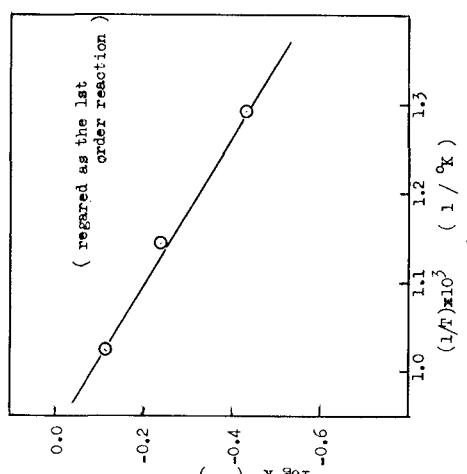


Fig. 4 A correlation of $\log(\frac{X_E}{1-X_E})$ and t for the determination of reaction equation